

## تأثیر بافت خاک‌های کربناته برخی سواحل و جزایر خلیج فارس بر خردشگی سنگدانه‌ها

سید محمود فاطمی عقدا، دانشگاه خوارزمی، دانشکده علوم زمین  
حبيب شاه نظری؛ دانشگاه علم و صنعت ایران، دانشکده مهندسی عمران  
حمیدرضا کرمی، مهدی تلخابلو؛ دانشگاه خوارزمی، دانشکده علوم زمین  
پذیرش: دریافت ۹۵/۱۱/۰۶ تاریخ: ۹۵/۰۳/۰۵

### چکیده

خاک‌های کربناته از لحاظ ویژگی‌های مقاومتی، خردشگی دانه‌ها و نشت خاک، از خاک‌های مستله‌دار در طبیعت هستند که گاهی مشکلاتی را برای مهندسان ژئوتکنیک به وجود می‌آورند. بخش اعظم این خاک‌ها در بستر آب‌های کم عمق مناطق گرمسیری واقع شده است. در ایران نیز در سواحل و جزایر خلیج فارس و دریای عمان لایه‌های نسبتاً ضخیمی از رسوبات کربناته موجود است. با توجه به اهمیت و گستردگی پروژه‌های بزرگی نظیر ساخت پل بزرگ خلیج فارس مابین بندرعباس و جزیره قشم، مخازن ذخیره نفت و گاز، سکوهای استخراج نفت و ساخت اسکله‌ها که اخیراً در این مناطق در دست اجرا هستند، شناخت و بررسی چنین خاک‌هایی اهمیت فراوانی دارد. در این تحقیق به بررسی تأثیر بافت رسوبات کربناته بر خردشگی دانه‌ها می‌پردازیم. نتایج تحقیق نشان می‌دهد افزایش اندازه مؤثر دانه‌ها و ضریب شکل آنها به صورت توانی با خردشگی آنها ارتباط داشته و با افزایش هم‌زمان دو پارامتر فوق میزان خردشگی تشديد می‌شود.

واژه‌های کلیدی: خاک‌های کربناته، خردشگی، ضریب شکل، اندازه مؤثر سنگدانه

### مقدمه

خاک‌های کربناته از نظر منشأ و هم‌چنین رفتار مهندسی در مقایسه با خاک‌های سیلیکاتی متفاوت است و بقایای موجودات دریایی هستند یا منشأ شیمیایی دارند و یا این که به صورت

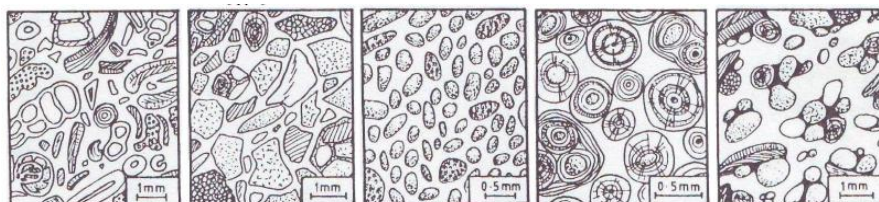
\*نویسنده مسئول hkarami@iust.ac.ir

فیزیکی به محیط رسوبی انتقال یافته و تشکیل شده‌اند. مهم‌ترین مشخصه این خاک‌ها قابلیت خردشدنگی دانه‌های آن‌ها در برابر بارهای وارد بسته به شکل دانه‌ها و حفرات درون‌ذرهای است. عمل خردشدنگی و تغییرات حجم حاصل از آن باعث بروز مسائلی در برابر برخی سازه‌های مهندسی مانند شمع کوبی‌ها و همچنین بی‌ها شده است. تاکنون چندین نمونه عملی گزارش شده است که در آن‌ها بعضی ویژگی‌های غیرمعمول پی‌ها در خاک‌های کربناته و عملکرد ضعیف آن‌ها نشان داده شده‌اند [۶]. این عملکرد ضعیف در بارگذاری برجای چندین شمع کوبشی در خاک‌های با سیمان ضعیف و خاک‌های کربناته (خلیج مکزیک) با تراکم پذیری زیاد است که نشان می‌دهد فقط درصد کمی (کمتر از ۱۵٪) از ظرفیت باربری که به کمک روش‌های طراحی معمول در خاک‌های سیلیکاته پیش‌بینی می‌شود به دست آمده [۶].

فوکس<sup>۱</sup> و هیگن‌بتوم<sup>۲</sup> (۱۹۷۵) [۹] اقدام به تقسیم‌بندی انواع دانه‌های تشکیل‌دهنده رسوبات کربناته کردند. آن‌ها پنج نوع اصلی از دانه‌های کربناته را معرفی کردند (شکل ۱).

اسکلتی: این نوع دانه از بقایای جانوران و گیاهان دریایی هستند و منشأ اصلی ماسه‌های کربناته را تشکیل می‌دهند. ذرات تشکیل شده در این گروه دارای تنوع زیادی هستند. زیاد بودن نسبت منافذ داخل دانه‌ها و نسبت منافذ بین دانه‌ای سبب خردشدنگی دانه‌ها در اثر فشار می‌شود.

غیر اسکلتی: در این نوع دانه‌ها، دانه‌های غیرکربناته با لایه‌ای از کربنات کلسیم پوشش می‌یابند. انواع مختلف دانه‌های اصلی آواری، پلت، الیت‌ها و خوشهای هستند. اساس تشکیل رسوبات کربناته عهد حاضر در مناطق کم‌عمق دریا در رابطه با این دو عامل اصلی است (حرمی ۱۳۶۷):



دانه‌های خوشهای دانه‌های پوشش‌دار پلت‌ها دانه‌های آواری دانه‌های اسکلتی  
شکل ۱. انواع دانه‌های کربناته اسکلتی و غیراسکلتی (فوکس و هیگن‌بتوم (۱۹۷۵))

1. Fookes  
2. Higginbottom

### - نبود و یا کمبود رسوبات آواری در محیط رسوبی

#### - فراوانی زیاد موجودات زنده

متوسط شوری دریاهای بین ۳۲ تا ۳۸ گرم در هزار است [۴]. اگر میزان شوری آب دریا در حدود و یا بیشتر از ۳۶ در هزار باشد مقدار کربنات کلسیم در رسوب‌ها بیش از ۵۰ درصد است ولی اگر شوری کمتر از ۳۴ در هزار باشد مقدار کربنات کلسیم در رسوبات کمتر از ۵ درصد است. البته این رابطه‌ای ثابت نیست و می‌تواند با توپوگرافی و آب‌وهای محیط و شرایط بیولوژیکی تغییر کند. کربنات کلسیم در دریاهای از تجزیه فلدسپات‌های کلسیک و پیروکسن و اولبیون حاصل می‌شود. تنوع خاک‌های کربناته در نقاط مختلف دنیا در اثر منشاء بیولوژیک متفاوت و شرایط مختلف محیط رسوبی مانند دما، فشار، نوع سیمان، تراز انرژی آب دریا، فرسایش و غیره منجر به ایجاد خاک‌های با ویژگی‌های مهندسی متفاوت شده است. این ویژگی‌های مهندسی متفاوت شامل تغییرات مقاومت، مدول تغییر شکل، مدول تغییر حجم، تغییرات فشار آب حفره‌ای و قابلیت خردشوندگی دانه‌ها تحت اثر بارگذاری هستند.

در تحقیق حاضر با استفاده از نتایج آزمایش‌های فشردگی، تأثیر بافت (شکل و اندازه دانه‌ها) خاک‌های کربناته سواحل شمالی خلیج فارس بر رفتار خردشدنگی آنها بررسی می‌شود. خاک‌های کربناته به خاک‌های اطلاق می‌شود که دارای مقدار چشم‌گیری (بالای ۵۰ درصد) ترکیبات کربناته ( $\text{CO}_3$ ) باشند. ویژگی مهم خاک‌های کربناته در مقایسه با خاک‌های با منشاء سیلیکاته، قابلیت خردشدنگی دانه‌های آنها است. چهار مشخصه اصلی برای خاک‌های کربناته وجود دارد که سمپل<sup>۱</sup> (۱۹۸۸) [۲۳] در اولین اجلاس رسوبات کربناته در استرالیا نکات مشترک خاک‌های کربناته بیان کرد: ۱. عمدتاً هر دانه بخشی از مصالح بیوکلاستیک است و جنس ضعیفی دارد. ۲. درجه سیمان‌شدنگی این خاک‌ها به طور چشم‌گیری متغیر است. ۳. معمولاً این خاک‌ها به دلیل تخلخل زیاد بین دانه‌ای و داخل دانه‌ای و نامنظمی و شکنندگی، قابلیت فشردگی زیادی به ویژه ناشی از خردشدنگی دارند. ۴. نوع دانه، منحنی دانه‌بندی، درجه سیمان‌شدنگی و ویژگی‌های مکانیکی مانند مقاومت، قابلیت فشردگی و نفوذپذیری این خاک‌ها در فاصله بسیار

1. Semple

کمی می‌تواند تغییر کند، این تغییرات در پیش‌بینی رفتار سازه‌های ژئوتکنیکی بسیار مهم است. به دلیل تنوع زیاد این خاک‌ها در نقاط مختلف دنیا، رفتارهای متفاوتی از آن‌ها گزارش شده است و اطلاعات کاملی در زمینه مشخصات مکانیکی آن‌ها در دست نیست. اغلب کارهای تحقیقاتی صورت گرفته روی این خاک‌ها عمدتاً در سواحل آفریقا، مکزیک، فیلیپین، سواحل استرالیا، هند، دریای شمال (انگلیس) و خلیج فارس بوده است. در ایران در سواحل و جزایر جنوبی کشور، کسب اولین تجربه عملی در این مورد در جزیره لاوان در سال ۱۹۶۵ بوده است.<sup>[۱۸]</sup>

صالح‌زاده و همکاران (۲۰۰۴) به بررسی رفتار زهکشی شده و زهکشی نشده ماسه کربناته جزیره کیش پرداختند [۲۲]. آن‌ها نشان دادند با افزایش تنش همه‌جانبه مقدار کاهش در مقاومت برشی در نمونه‌های سست کمتر از نمونه‌های متراکم است. هم‌چنین خردشدنگی در نمونه‌های سست بیش‌تر از نمونه‌های متراکم است. حسنلوراد و همکاران (۱۳۸۸) به بررسی و اصلاح خاک‌های ماسه‌ای کربناته با استفاده از تزریق شیمیابی پرداختند آن‌ها نتیجه گرفتند وجود دوغاب در بین دانه‌های ماسه و رشد پیوندها باعث بهبود رفتار و مقاومت برشی شده و میزان کاهش حجم در این ماسه‌ها را کم می‌کند [۱]. شاهنظری و همکاران (۲۰۱۳) اثر پارامترهای مختلف روی مقدار خردشدنگی ماسه‌های کربناته جزیره هرمز و بندر بوشهر را بررسی کردند [۲۴]. در این تحقیق مقدار خردشدنگی با استفاده از آزمایش‌های سه‌محوری مونوتونیک در حالت‌های زهکشی شده و زهکشی نشده ارزیابی شد. آن‌ها بیان کردند که پارامترهای بسیاری روی خردشدنگی ماسه‌های کربناته تأثیر داشته که از آن جمله می‌توان به تنش همه‌جانبه، تراکم نسبی، کرنش محوری، شرایط زهکشی، شکل دانه و دانه‌بندی اشاره کرد. نتایج آزمایش نشان می‌دهد که تنش تسلیم دانه‌های خاک کربناته بوشهر کمتر از خاک جزیره هرمز است. مقدار خردشدنگی در هر دو خاک تا کرنش‌های محوری حدود ۵٪ ناچیز است و با افزایش کرنش، مقدار خردشدنگی افزایش می‌یابد. کارگر و همکاران (۲۰۱۵) به بررسی رفتار تناوبی و فرآتناوبی خاک‌های کربناته هرمز و بوشهر پرداختند آن‌ها دریافتند میزان خردشدنگی با افزایش کرنش

تجمعی و فشار متوسط تحکیم افزایش می‌یافتد [۱۵]. کرنش تناوبی، کرنش تجمیعی تناوبی و اضافه فشار منفذی از عوامل اصلی تغییر رفتار فرا تناوبی ماسه بوشهر به شمار می‌روند. هم‌چنین محققان دیگری مانند پولوس<sup>۱</sup> و همکاران (۱۹۸۶، ۱۹۸۴) [۲۰]، [۱۹]، [۲۱]، روی خواص فیزیکی و مکانیکی ماسه‌های آهکی ناحیه Bass Strait & North Rankin استرالیا کار کرده‌اند.

برداشت نمونه خاک‌های کربناته از تعدادی سواحل و جزایر جنوبی ایران مانند بندرعباس، بندر بوشهر، جزایر قشم، هرمز و هنگام، انجام آزمایش دانه‌بندی خاک، تفکیک و جداسازی خاک‌ها به سایزهای مختلف، تعیین درصد کربنات کلسیم، دانسیته نسبی، توده و پیله، اندازه‌گیری طول، عرض و ضخامت دانه‌ها، انجام آزمون فشردنی و نهایتاً محاسبه میزان خردشدنی دانه‌ها تحت تأثیر شرایط متفاوت، از جمله اقدامات انجام شده هستند. رفتار متفاوت خاک‌های کربناته تحت تأثیر بارهای وارده در نقاط مختلف جهان دلیل اصلی انجام این تحقیق است و مؤلفان مقاله سعی کرده‌اند که بر اساس نمونه‌برداری‌های انجام شده و آنالیزهای آماری صورت گرفته عوامل مؤثر بر میزان خردشدنی دانه‌ها شناسایی کنند.

## دستگاه آزمایش Rowe cell

سلول اصلاح شده تحکیم با قطر داخلی ۶ اینچ (Model number EL25-0705)، در این تحقیق به کار برده شد. قالب به کار گرفته شده به گونه‌ای طراحی شد که تا فشار 2000kPa بدون تغییر شکل جانبی، قادر به انجام آزمایش تحکیم روی نمونه‌های مخلوط ریزدانه و درشت‌دانه باشد. ارتفاع نمونه در این قالب ۵۰ میلی‌متر و سطح نمونه معادل ۱۸۰۰۰ میلی‌متر مربع است.

این دستگاه را اولین بار پروفسور P. W. Rowe در دانشگاه منچستر انگلستان طراحی و ساخت. به طور معمول پارامترهای تحکیم خاک‌ها با دستگاه ادومتر اندازه‌گیری می‌شود که این دستگاه برای آزمایش تحکیم خاک‌های حاوی درشت‌دانه و هم‌چنین برای اندازه‌گیری نفوذپذیری

---

1. Poulos

و تحکیم شعاعی دارای نواقصی (تحکیم خاک فقط به حالت یکبعدی، امکان زهکشی تنها در جهت قایم، امکان نداشتن انجام آزمایش روی نمونه‌های مخلوط ریزودرشت بهدلیل حجم کوچک) است، سلول پیشرفته تحکیم خاک بهمنظور رفع نواقص مذکور و بهره‌مندی از برخی قابلیت‌های دیگر ابداع شده است [۳]. بارگذاری پیوسته از مهم‌ترین قابلیت‌های این دستگاه است، هم‌چنین با توجه به نوع تنش‌هایی که بر نمونه اعمال می‌شود و شرایط زهکشی متنوعی که با این دستگاه ایجاد می‌شود، امکان شبیه‌سازی شرایط محل از لحاظ موقعیت تنش‌ها و زهکشی‌ها بهراحتی وجود دارد. مزیت‌های سلول اصلاح‌شده تحکیم عبارت است از:  
 الف) سیستم بارگذاری هیدرولیکی (اثر ارتعاش که در سیستم اهرمی دیده می‌شود کاهش می‌یابد، اعمال فشار تا سقف ۲۰۰۰ کیلو پاسکال برای نمونه‌های بزرگ)، ب) سهولت کنترل (zechkشی بهراحتی قابل کنترل است، فشار آب حفره‌ای در هر زمان قابل اندازه‌گیری است از این رو، شروع و خاتمه تحکیم اولیه ثبت می‌شود)، ج) نمونه‌های با اندازه بزرگ (تجزیه و تحلیل نشست در وضعیت سه‌بعدی واقعی اطلاعات معتبرتری نسبت به ادومتر معمولی یک بعدی روی نمونه‌های کوچک ارائه می‌دهد. شبیه‌سازی واقعی تر از شرایط چاهک‌های زهکشی در آن صورت می‌گیرد). از این رو، نتایج آزمایش‌های آن نمایان‌گر شرایط واقعی تری از خاک است، برای انجام این آزمایش همه نمونه‌ها با دانسیتۀ نسبی ۵۰٪ ساخته و در داخل قالب قرار گرفت و ضمن خارج کردن هوا از لابه‌لای دانه‌های خاک، با آب بدون هوا، اشباع شد (شکل ۲).

### روش انجام تحقیق

خاک‌های مناطق مختلف سواحل شمالی خلیج فارس مانند بندرعباس، بندر بوشهر، جزایر قشم، هرمز و هنگام که در آن‌ها مرکز فعالیت‌های عمرانی بیشتر است برداشت گردید. پس از انجام آزمایش‌های اولیه مانند آزمایش دانه‌بندی مکانیکی، تعیین درصد کربنات کلسیم، تعیین توده ویژه، تعیین دانسیتۀ نسبی، وضعیت شکل دانه‌ها از لحاظ کروی بودن، صفحه‌ای بودن، سوزنی و تیغه‌ای بودن بررسی شد. بررسی‌های بعدی شامل حدود ۷۰ مورد آزمایش فشردگی با دستگاه Rowe cell و اندازه‌گیری میزان خردشگی دانه‌ها بوده است. آزمایش دانه‌بندی

خاک بهوسیله الکهای دانه‌بندی استاندارد بر اساس استاندار D421,D422 ASTM برای همه خاک‌ها انجام شد. برخی نمونه خاک‌های برداشت شده به صورت طبیعی دارای دانه‌هایی با اندازه‌های متفاوت است و از دانه‌هایی با ابعاد حدود ۱۲ میلی‌متر تا زیر یک میلی‌متر را شامل می‌شوند لیکن برخی دیگر یکنواخت‌تر است و بعضاً درشت‌دانه یا ریزدانه هستند. از این‌رو، از آن‌جاکه یکی از اهداف این تحقیق بررسی اثر اندازه دانه‌ها بر خردشدنگی بوده است علاوه بر این‌که خاک‌های کربناته به صورت طبیعی تحت آزمایش‌های خردشدنگی قرار گرفته‌اند بر اساس اندازه الکهای دانه‌بندی استاندارد نیز به گروه‌های کوچک‌تری تفکیک شدند. و تأثیر سایز آن‌ها بر روی خردشدنگی بررسی شد. این خاک‌ها به کمک الکهای دانه‌بندی استاندارد به گروه‌های زیر (شش گروه) تفکیک شدند (جدول ۱). بر اساس طبقه‌بندی یونیفايد خاک‌های برداشت شده عمدتاً شامل ماسه‌های درشت، متوسط و ریز بد دانه‌بندی شده (sp) هستند.

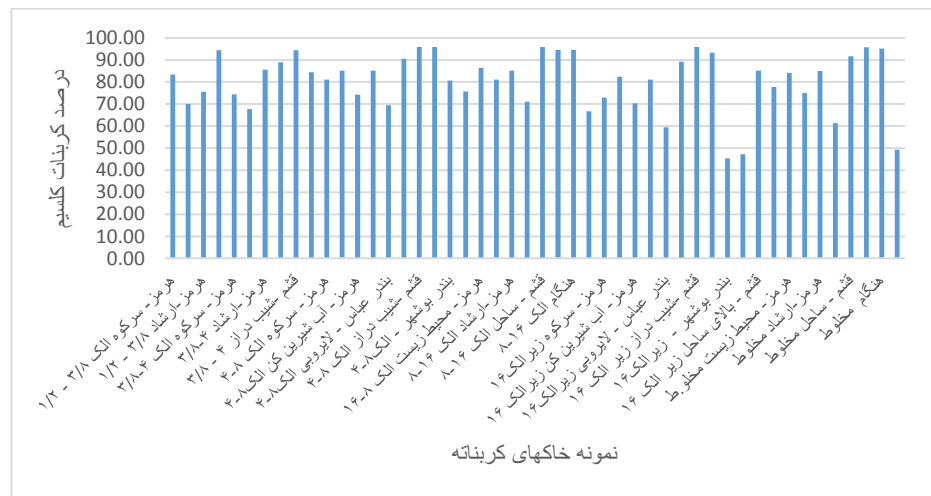


شکل ۲. (الف) ساخت نمونه، (ب) نمونه بارگذاری شده، (ج و د) نمونه‌های خارج شده از داخل قالب

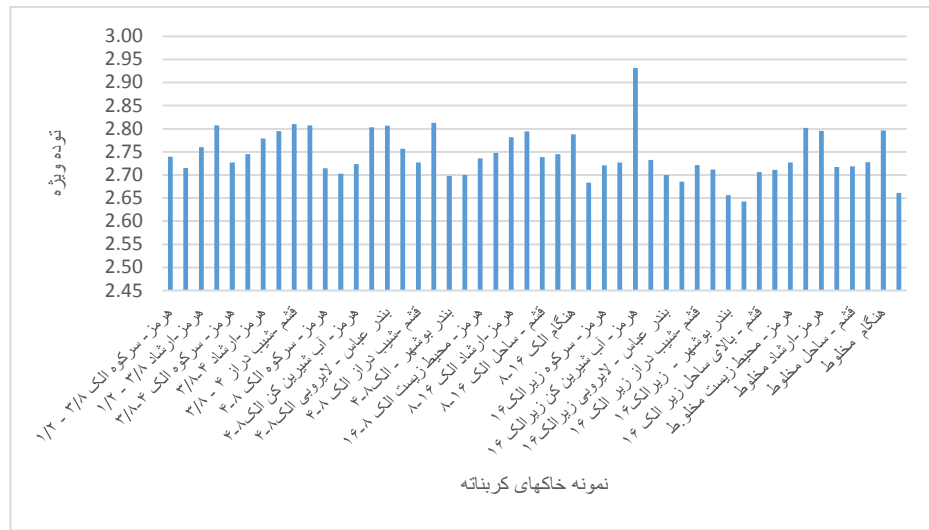
## جدول ۱. اندازه‌های مختلف دانه‌های استفاده شده در این تحقیق

	نمونه 1	نمونه 2	نمونه 3	نمونه 4	نمونه 5	نمونه 6
شماره الک دانه بندی	< 16	16 - 8	8 - 4	4 - $\frac{3}{4}$ "	$\frac{3}{4}" - \frac{1}{2}"$	200 - 4
اندازه (mm)	< 1.18	1.18- 2.36	2.36-4.75	4.75- 9.5	9.5- 12.7	.075-4.75

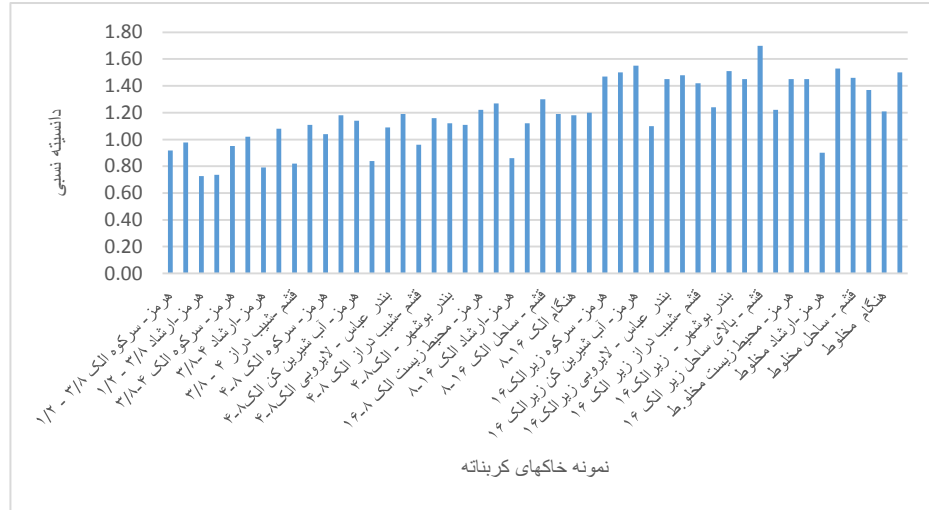
نتایج آزمایش‌های اولیه در شکل ۳ الى ۵ نشان داده است. چنان‌که مشاهده می‌شود میزان کربنات کلسیم خاک‌های بررسی شده از حدود ۴۵ درصد تا حدود ۹۵ درصد متغیر است و نتایج آزمایش‌های انجام شده در این محدوده معتبر است و تأثیر جدگانه ترکیب شیمیایی خارج از بحث این نوشتار است و مستقلاً بررسی می‌شود. توده ویژه خاک‌های برداشت شده از حدود ۲/۶۵ تا حدود ۲/۸۰ متغیر است و در یکی از نمونه‌های بهدلیل وجود خرددهای آهن در خاک منطقه توده ویژه تا ۲/۹۳ نیز ملاحظه می‌شود. با تعیین دانسیته حداقل و حداکثر هر نمونه خاک، دانسیته نسبی خاک در حالت ۵۰٪ تراکم محاسبه شد، مقادیر آن از حدود ۰/۷۵ تا ۱/۵ در خاک‌های مختلف متغیر است.



شکل ۳. نمایش میزان درصد کربنات کلسیم نمونه خاک‌های کربناته



#### شکل ۴. نمایش توده ویژه نمونه خاک‌های کربناته



شکل ۵. نمایش دانسیتیه نسبی ۵۰٪ نمونه خاک‌های کربناته

## تعیین ضریب شکل و اندازه مؤثر دانه‌ها

شکل دانه‌ها از عوامل مؤثر بر میزان خردشده‌گی آن‌ها است. به طور کلی دانه‌ها را از نظر شکل می‌توان به ۴ بخش به شرح ذیل تقسیم کرد: دانه‌های کروی، دانه‌های صفحه‌ای، دانه‌های سوزنی و دانه‌های تیغه‌ای [۲۵]. علاوه بر توصیف کیفی شکل دانه‌ها نیاز است که شکل دانه‌ها به صورت کمی نیز تعیین شده و تأثیر آن بر خردشده‌گی بررسی شود. از آنجاکه دانه‌های خاک بعضاً دارای اشکال متفاوتی هستند باید شکل غالب یا میانگین عددی شکل دانه‌ها مورد توجه قرار گیرد و تأثیر آن بر خردشده‌گی بررسی شود، از این‌رو، بررسی شکل دانه‌ها بر اساس اندازه‌گیری سه بعد هر سنگ‌دانه طبق رابطه (۱) انجام شد [۱۲]:

$$\text{shape index} = \frac{L}{W} + \frac{L}{T} = L \left( \frac{T+W}{W*T} \right) \quad (1)$$

در این رابطه  $L$ ,  $W$ ,  $T$  به ترتیب طول و عرض و ضخامت هر سنگ‌دانه هستند. چنان‌چه دانه‌ای به شکل کروی باشد با استفاده از این رابطه ضریب شکل آن معادل عدد ۲ می‌شود و هرچه این عدد بزرگ‌تر شود دانه‌ها به سمت میله‌ای تغییر شکل می‌دهند.

در خاک‌هایی که دارای دانه‌هایی با اندازه‌های متفاوت هستند و همچنین خاک‌هایی که دارای دانه‌هایی تقریباً همان‌دازه بین دو الک دانه‌بندی هستند، تعیین اندازه غالب یا تعیین میانگین عددی اندازه دانه‌ها به منظور بررسی تأثیر اندازه دانه بر خردشده‌گی دارای اهمیت زیادی است از این‌رو، به منظور بررسی دقیق‌تر اثر سایز دانه‌ها بر خردشده‌گی و انجام تجزیه و تحلیل‌های آماری از رابطه ۲ برای تعیین اندازه مؤثر (غالب) دانه‌ها استفاده شده است [۱۲].

$$\text{Effective size} = 0.1 \left( \frac{D_{min}+D_{10}}{2} \right) + 0.2 \left( \frac{D_{10}+D_{30}}{2} \right) + 0.3 \left( \frac{D_{30}+D_{60}}{2} \right) + 0.4 \left( \frac{D_{60}+d_{max}}{2} \right) \quad (2)$$

در این رابطه  $D_{60}, D_{30}, D_{10}$  به ترتیب قطر دانه‌های کمتر از ۱۰، ۳۰ و ۶۰ درصد و  $D_{min}$  و  $d_{max}$  به ترتیب قطر حداقل و حدکثر دانه‌های خاک هستند. با استفاده از روابط مذکور ضریب شکل و اندازه مؤثر همه نمونه‌ها محاسبه و ارتباط بین پارامترهای مذکور با خردشده‌گی بررسی می‌شود.

### تعیین میزان خردشده‌گی سنگ‌دانه‌ها

تحقیقان بررسی‌های زیادی در مورد اندازه‌گیری میزان خردشده‌گی سنگ‌دانه‌ها تحت تأثیر بارهای واردۀ انجام داده‌اند.

لسلی<sup>۱</sup> (۱۹۶۳) بر اساس رابطه (۳) عنوان می‌کند، شاخص خردشده‌گی عبارت است از قطر دانه‌های کمتر از ۱۰ درصد در منحنی دانه‌بندی خاک بعد از خردشده‌گی ( $D_{10}^f$ ) به قطر دانه‌های کمتر از ۱۰ درصد منحنی دانه‌بندی همان خاک قبل از خردشده‌گی ( $D_{10}^i$ ) است [۱۷].

$$B_{10} = \frac{D_{10}^f}{D_{10}^i} \quad (3)$$

هازن<sup>۲</sup> (۱۹۱۱) رابطه تجربی (۴) را به منظور تعیین میزان خردشده‌گی دانه‌های خاک پیشنهاد کرد [۱۳].

$$B_{10} = 1 - \frac{D_{10}^f}{D_{10}^i} \quad (4)$$

لی<sup>۳</sup> و فرهودمند (۱۹۶۷) شاخص خردشده‌گی را نسبت بین قطر ذرات کمتر از ۱۵ درصد منحنی دانه‌بندی قبل از خردشده‌گی به قطر ذرات کمتر از ۱۵ درصد منحنی دانه‌بندی بعد از انجام آزمایش قرار داده است، رابطه (۵) [۱۶].

$$B_{15} = \frac{D_{15}^i}{D_{15}^f} \quad (5)$$

ایندراتنا<sup>۴</sup> و همکاران (۱۹۹۳) تغییرات قطر ذرات خاک کمتر از ۵۰٪ را قبل از انجام آزمایش به بعد از آزمایش را به عنوان مبنای اندازه‌گیری خردشده‌گی در نظر گرفته‌اند، رابطه (۶) [۱۴].

$$B_{50} = \frac{D_{50}^i}{D_{50}^f} \quad (6)$$

قبری و همکاران (۲۰۱۳) شاخص جدیدی به صورت رابطه (۷) را به منظور تفسیر نتایج خردشده‌گی دانه‌ها تعریف کرده‌اند [۱۰].

$$New\ Index = \frac{B_{50}}{B_{15}} \quad (7)$$

1 Leslie

2 Hazen

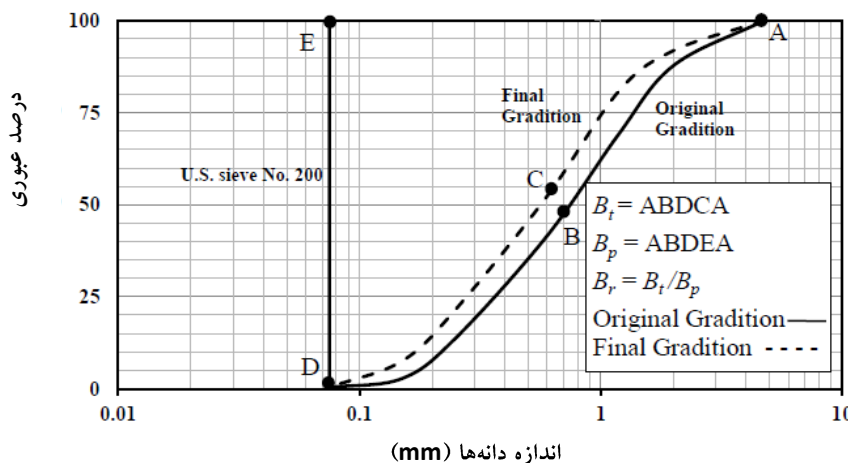
3 Lee

4 Indraratna

بر اساس تعریف هارдин<sup>۱</sup> (۱۹۸۵) خردشده‌گی کلی ذرات برای یک نمونه خاک عبارت است از مساحت بین دو منحنی دانه‌بندی قبل و بعد از خردشده‌گی به مساحت مابین منحنی قبل از خردشده‌گی تا خط عمود ۰,۷۵ میلی‌متر است [۱۱]. در سنگدانه‌های زاویه‌دار، روش هارдин (۱۹۸۵) که بیان‌گر میانگین شکست کل ذرات است، یک ضریب مناسب برای اندازه‌گیری میزان خردشده‌گی ذرات است [۱۰]. با استفاده از روش هارдин (۱۹۸۵) نمودار دانه‌بندی خاک قبل و بعد از بارگذاری ترسیم شد. برای اندازه‌گیری خردشده‌گی از رابطه (۸) استفاده شد [۱۱]

$$B_r = \frac{B_t}{B_p} \quad (8)$$

به‌منظور اندازه‌گیری میزان خردشده‌گی سنگدانه‌ها از سلول اصلاح‌شده تحکیم<sup>۲</sup> استفاده شده است. اندازه‌گیری میزان خردشده‌گی دانه‌ها به‌روش هارdin (۱۹۸۵) انجام شده است (شکل ۶)، هم‌چنین نمونه‌ای از خاک کربناته خردشده در شکل ۷ نشان داده شده است.

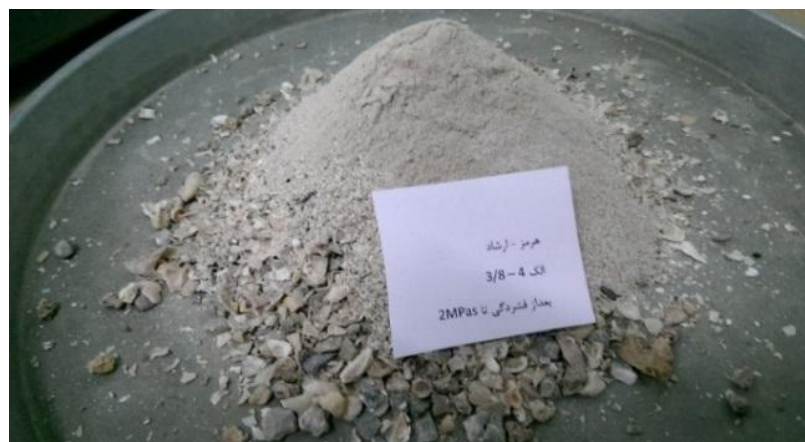


شکل ۶. نمایش روش (Hardin 1985) در اندازه‌گیری میزان خردشده‌گی

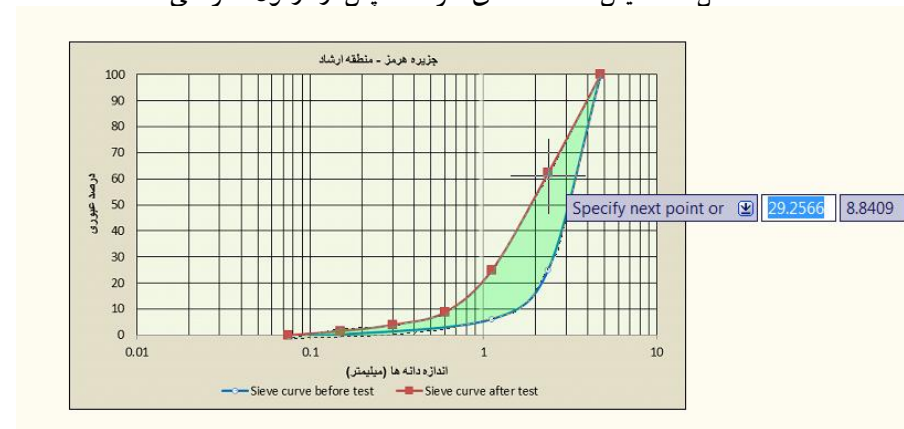
با استفاده از نرم‌افزار اتوکد و تقسیم مساحت مابین دو نمودار دانه‌بندی قبل و بعد از فشرده‌گی به مساحت نمودار دانه‌بندی قبل از فشرده‌گی تا خط عمودی ۰,۷۵ هزارم میلی‌متر، میزان خردشده‌گی محاسبه شده است، این عملیات برای همه نمونه‌ها انجام شده است (شکل ۸ و ۹).

<sup>1</sup> Hardin

<sup>2</sup> Rowe Cell



شکل ۷. نمایش سنگ‌دانه‌های خردشده پس از آزمون فشردگی

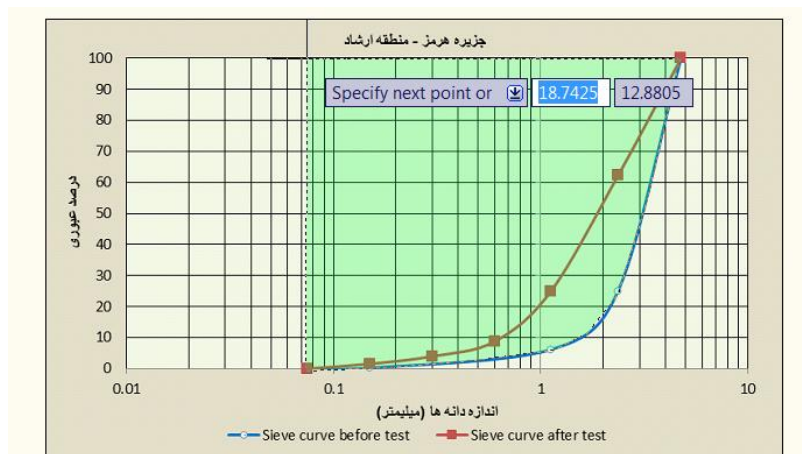


شکل ۸. نمایش محاسبه سطح بین دو نمودار دانه‌بندی قبل و بعد از فشردگی

### ساختمار داخلی سنگ‌دانه‌های کربناته

شکل ۱۰ تصویر SEM (میکروسکوپ الکترونی) نمونه سنگ‌دانه خاک کربناته جزیره هرمز منطقه ارشاد بین الک (۳/۸-۴) با درصد خردشدن زیاد (۱۷/۷٪) را نشان می‌دهد، چنان‌که مشاهده می‌شود سطح سنگ‌دانه سطحی ناهموار دارد و با بزرگنمایی‌های بیشتر فضاهای خالی در داخل دانه بهخوبی نمایان هستند، در صورت تحت‌فشار قرارگیری خاک، تغییر شکل و جابجایی و خردشدن دانه‌ها بهدلیل فضاهای خالی داخل آن‌ها بهخوبی

امکان پذیر است، و این امر در افزایش میزان خردشگی و فشردگی پذیری خاک‌های کربناته بسیار مؤثر است.



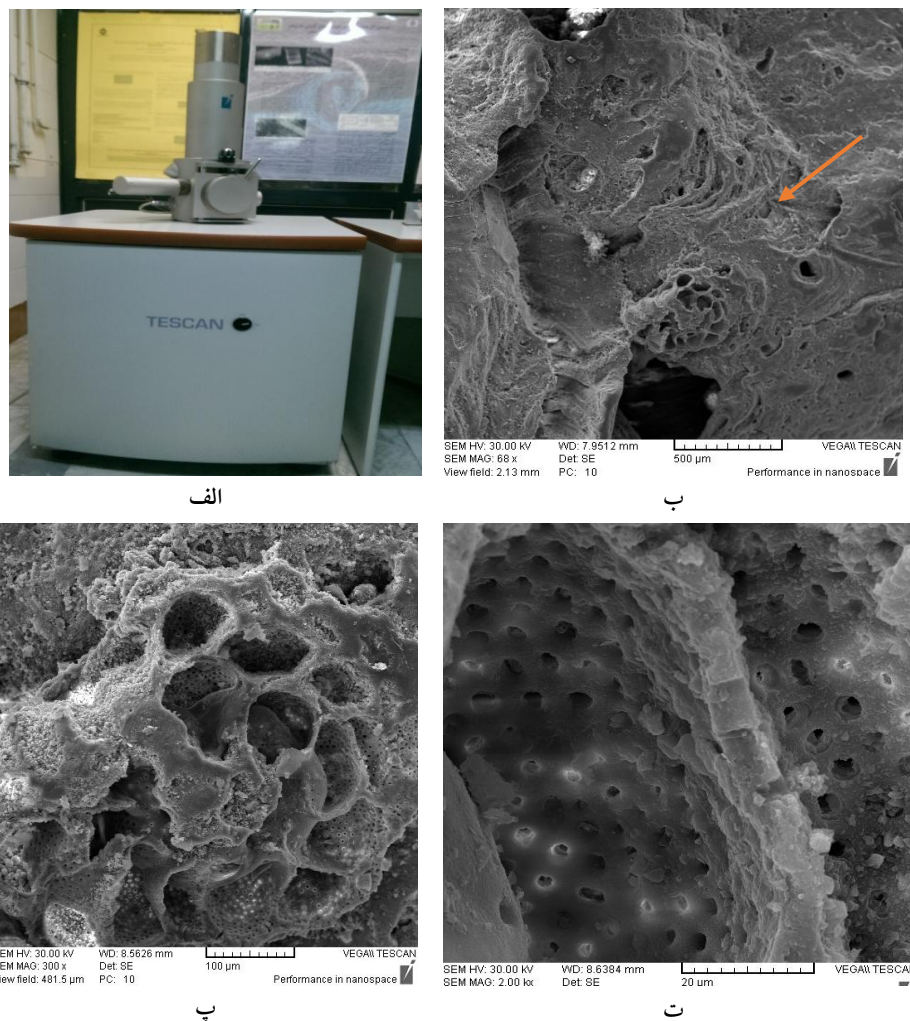
شکل ۹. نمایش محاسبه سطح بین نمودار دانه‌بندی اولیه و خط ۷۵ میکرون

### بررسی و تحلیل نتایج

چنان‌که از شکل ۱۱ نتیجه می‌شود خردشگی سنگ‌دانه‌ها با ضریب شکل ۲ الی ۳ زیر ۵ درصد است و دانه‌های کروی و تقریباً کروی شکل دارای حداقل میزان خردشگی هستند. با افزایش ضریب شکل به مقادیر بیشتر (ضریب شکل ۵ الی ۶) میزان خردشگی تا مرز ۱۵ درصد نیز افزایش می‌یابد، لیکن در ضریب شکل‌های بالاتر (بالای ۷) میزان خردشگی به حداقل میزان خود یعنی بیشتر از ۲۰ درصد نیز می‌رسد و درواقع هرچه دانه‌ها از شکل کروی و حجمی به شکل‌های میله‌ای و طویل تغییر شکل حاصل می‌کنند میزان خردشگی آن‌ها بیشتر می‌شود.

نتیجه دیگری که از بررسی شکل ۱۱ حاصل می‌شود این است که اندازه مؤثر دانه‌ها نیز تأثیر چشم‌گیری بر میزان خردشگی دانه‌ها دارند به‌گونه‌ای که در اندازه مؤثر زیر یک میلی‌متر کمترین میزان خردشگی در حد یک درصد مشاهده می‌شود و این بدان معنا است که دانه‌ها با هر ضریب شکل در اندازه مؤثر زیر یک میلی‌متر دارای حداقل میزان خردشگی هستند. با

افزایش اندازه مؤثر دانه‌ها روند خردشده‌گی ابتدا به صورت خطی است لیکن در نمودارهای با ضریب شکل بالاتر این روند از حالت خطی خارج شده و روند غیرخطی را نشان می‌دهد. خردشده‌گی دانه‌ها با افزایش اندازه مؤثر و ضریب شکل، افزایش می‌یابد. تأثیر عوامل مذکور

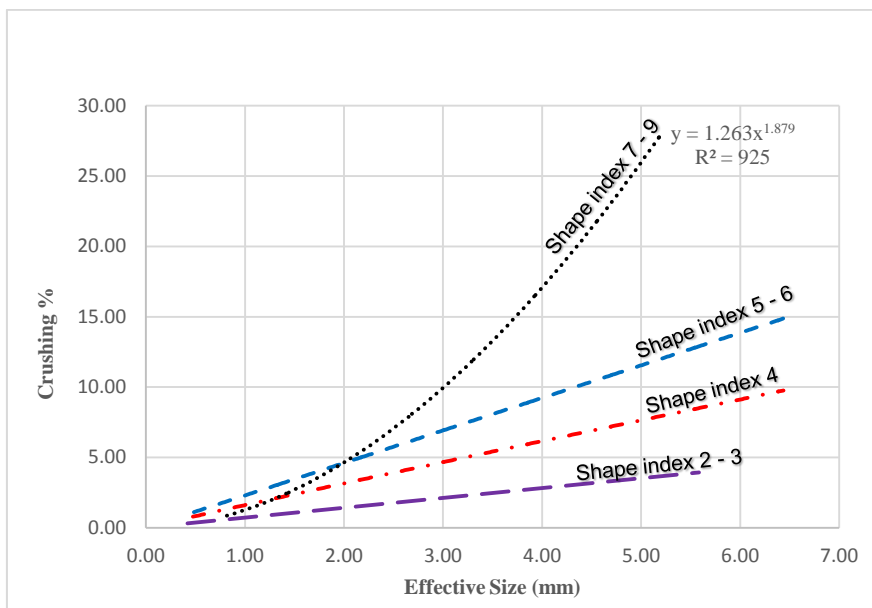


شکل ۱۰. نمایش (الف) دستگاه میکروسکوپ الکترونی (TESCAN)، (ب) یک نمونه سنگ‌دانه بیولوژیک خاک کربناته جزیره هرمز منطقه ارشاد بین الک (۳/۸-۴) با بزرگنمایی ۶۸ برابر، (پ) قسمتی از سطح سنگ‌دانه با حفره‌های متعدد بر روی سطح آن با بزرگنمایی ۳۰۰ برابر، (ت) نمایش ساختمان داخلی حفره و دیواره داخلی آن روی سطح سنگ‌دانه، داخل حفره سوراخ‌های متعدد و کوچک‌تری روی دیواره مشاهده می‌شود، بزرگنمایی ۲۰۰۰ برابر

به صورت هم‌زمان در پاره‌ای از موارد علاوه بر افزایش میزان خردشده‌گی موجب تشدید آن نیز می‌شود و روند افزایش خردشده‌گی به صورت خطی نبوده است بلکه به صورت توانی است. با بررسی رابطه بین خردشده‌گی به عنوان یک متغیر وابسته و دو پارامتر اندازه مؤثر و ضریب شکل سنج‌دانه‌ها به عنوان پارامترهای مستقل، به کمک نرم‌افزار SPSS مشخص شد. به طور کلی بهترین هم‌گرایی داده‌ها با رگرسیون توانی<sup>۱</sup> به دست می‌آید (نمودار شکل ۱۱، معادله خط مربوط به ضریب شکل ۷-۹ برابر  $1.263x^{1.879} = y$  است). در نمودار مربوط به ضریب شکل ۲ تا ۳ به دلیل نزدیک بودن شکل دانه‌ها به کره، افزایش اندازه مؤثر دانه‌ها تأثیر چندانی بر روی خردشده‌گی آن‌ها ندارد و افزایش خردشده‌گی در این بخش به صورت خطی<sup>۲</sup> با شبیه ملایم است. با افزایش ضریب شکل، میزان خردشده‌گی به صورت توانی افزایش یافته و افزایش‌های چشم‌گیری در نمودارهای بعدی مربوط به ضریب شکل ۴، ۵ و ۶-۹ مشاهده می‌شود. با افزایش هم‌زمان اندازه مؤثر و ضریب شکل تأثیر دو پارامتر بر روی یک‌دیگر به صورت یک تابع توانی، بیشترین اثر را بر خردشده‌گی دانه‌ها دارند. با توجه به شکل ۱۱ ملاحظه می‌شود ضریب شکل حدود ۷ و بیشتر و اندازه مؤثر بالای ۵ بیشترین میزان خردشده‌گی و ضریب شکل در محدوده ۲ تا ۳ با هر اندازه مؤثر کمترین میزان خردشده‌گی را در نمونه خاک‌های کربناته نشان می‌دهند.

به طور کلی هرچه اندازه دانه‌های یک خاک افزایش می‌باید قابلیت خردشده‌گی و شکستگی دانه‌های آن خاک نیز بیشتر می‌شود زیرا سنج‌دانه خاک‌های درشت‌دانه ممکن است که دارای ترک‌های بیشتری در داخل ساختار خود باشند که در هنگام تحمل فشار دچار شکستگی می‌شوند. به علاوه خاک‌های درشت‌دانه کربناته از آن‌جاکه دارای دانسیته نسبی کم‌تری نسبت به خاک‌های ریزدانه هستند (شکل ۵) دارای فضاهای خالی بیشتری در اطراف دانه‌های خود هستند این مسئله سبب می‌شود نیروی واردہ بر سطح دانه‌های درشت وارد شده و به فضاهای خالی مابین دانه‌ها وارد نشود در نتیجه سطح دانه‌های درشت بار بیشتری را تحمل کرده و دچار خردشده‌گی بیشتری می‌شوند [۷].

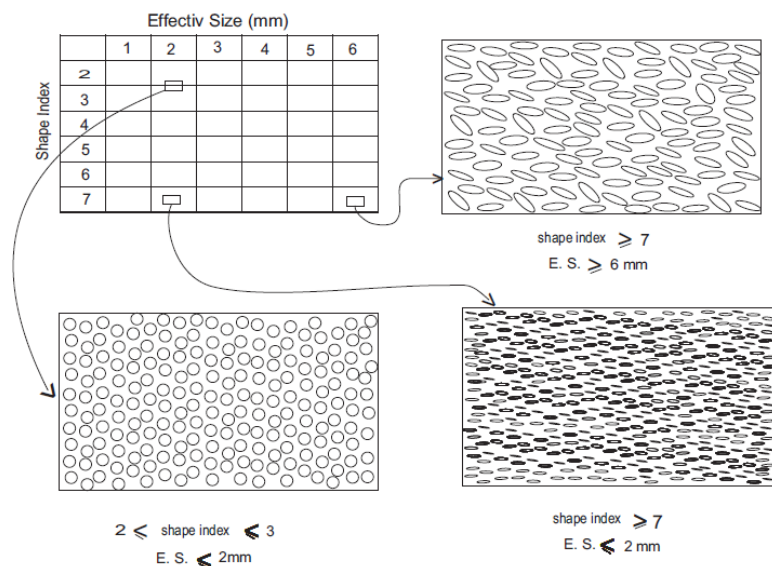
<sup>1</sup> Power<sup>2</sup> Linear



شکل ۱۱. تغییرات خردشدنی به اندازه مؤثر سنگ‌دانه با ضرایب شکل متفاوت

به منظور درک بهتر مفاهیم ضریب شکل و اندازه مؤثر دانه‌ها، شکل ۱۲ تصویر شماتیک دانه‌های بررسی شده در تحقیق حاضر را با توجه به اندازه مؤثر و ضریب شکل متفاوت نمایش داده است. چنان‌که مشاهده می‌شوند دانه‌های دارای اندازه مؤثر ۲ و ضریب شکل حدود ۲ تا ۳ دانه‌های تقریباً کروی شکل است و دارای قطر داخلی در حد ۲ میلی‌متر هستند (مشابه ماسه‌های سیلیکاته متوسط دانه). دانه‌های دارای اندازه مؤثر ۶ و ضریب شکل ۷ دانه‌هایی هستند که از شکل کروی خارج شده و به شکل میله‌ای تبدیل شده‌اند، لیکن بزرگ‌ترین قطر آن‌ها در حد ۲ میلی‌متر است. دانه‌های دارای اندازه مؤثر ۶ و ضریب شکل ۷ دانه‌هایی هستند که بزرگ‌ترین قطر داخلی آن‌ها در حد ۶ میلی‌متر است و به شکل کشیده یا سوزنی هستند.

یکی از روش‌های مناسب برای انتخاب بهترین مدل رگرسیون برای داده‌های حاصل از آزمایش‌ها استفاده از ضریب  $R^2$  است. این ضریب به عنوان معیاری برای توجیه تنوع متغیر وابسته در اثر متغیرهای مستقل مرسوم است، یعنی  $0 \leq R^2 \leq 1$ . اما مقدار بزرگ‌تر  $R^2$  الزاماً



شکل ۱۲. نمایش شماتیک دانه‌ها با ضریب شکل و اندازه مؤثر متفاوت

به معنی خوب بودن مدل رگرسیون نیست، زیرا افزودن یک متغیر به مدل همیشه مقدار آن را صرف‌نظر از این‌که متغیر اضافه شده در مدل مشارکت داشته یا نه افزایش خواهد داد. بنا براین ممکن است مدل‌های دارای مقادیر بزرگ‌تر  $R^2$  برای برآورد مدل ضعیف باشند. از این‌رو، در این‌جا از آماره آزمون فیشر (F) برای مدل‌سازی نتایج آزمون‌های آزمایشگاهی استفاده شده است. بنا براین در صورت معنی‌داری مدل‌های بررسی شده، مدلی مناسب‌تر است که F بالاتری داشته باشد [۵].

بر اساس آنالیز رگرسیون انجام‌شده به وسیله نرم‌افزار آماری SPSS با استفاده از متغیر وابسته خردشدنی و متغیر مستقل ضریب شکل در محدوده اندازه‌های مؤثر متفاوت سعی گردید بهترین هم‌گرایی استخراج شود چنان‌که از جدول ۲ نتیجه می‌شود بهترین  $R^2$  در رگرسیون توانی (Power) با میزان ۰/۹۲۵ برای اندازه مؤثر ۵ تا ۶ به دست آمده است، هم‌چنین بیش‌ترین مقدار عدد فیشر نیز معادل ۷۳/۷۹۶ نیز در همین حالت به دست آمده است که این امر مؤید آن است که تأثیر متغیرهای مستقل ضریب شکل و اندازه مؤثر به صورت توانی بهترین هم‌گرایی را از خود نشان می‌دهند.

خلاصه مدل‌های رفتاری و پارامترهای برآورده شده منحنی رگرسیون با ضریب شکل ۷-۹ مربوط به شکل ۱۱ در جدول ۲ ارائه شده است، چنان‌که مشاهده می‌شود ستون اول مربوط به معادلات رفتاری مختلف منحنی رگرسیون، ستون دوم خلاصه مدل‌ها بر اساس ضریب  $R^2$ ، عدد فیشر و درجه آزادی داده‌ها، ضریب Sig. مربوط به میزان معنی‌داری داده‌ها و ستون سوم پارامترهای برآورده شده شامل ثابت‌ها و ضرایب b مربوط به معادله خط رگرسیون  $y = 1.263x^{1.879}$  است.

**جدول شماره ۲.** خلاصه مدل‌ها و برآورده عوامل ممکن از تأثیر اندازه مؤثر بر خردشدنی دانه‌ها (خروجی نرم‌افزار spss)

معادله	خلاصه مدل					برآورده پارامترها			
	R*	F	درجه آزادی ۱	درجه آزادی ۲	معیار تصمیم	ثابت	b1	b2	b3
Linear	.875	41.881	1	6	.001	-2.269	4.219		
Log.	.872	41.001	1	6	.001	.411	10.079		
Inverse	.708	14.532	1	6	.009	16.887	-15.915		
Quadratic	.908	24.706	2	5	.003	-6.318	7.576	-.558	
Cubic	.921	15.609	3	4	.011	-.530	-.666	2.621	-.350
Compound	.721	15.541	1	6	.008	.979	2.001		
Power	.925	73.796	1	6	.000	1.263	1.879		
Growth	.721	15.541	1	6	.008	-.021	.694		
Exponential	.721	15.541	1	6	.008	.979	.694		
Logistic	.721	15.541	1	6	.008	1.021	.500		

متغیر وابسته خردشدنی است متغیر مستقل اندازه مؤثر است

### نتیجه‌گیری

انواع مختلف خاک‌های کربناته سواحل شمالی و جزایر خلیج فارس که عمدتاً دارای منشاء بیولوژیک هستند برداشت شد. پس از انجام آزمایش‌های دانه‌بندی و تفکیک خاک به گروه‌های مختلف، میزان کربنات کلسیم، توده ویژه، دانسیتۀ نسبی تعیین شد. نمونه‌های تفکیک شده با دانسیتۀ نسبی ۵۰٪ تحت آزمایش فشردنگی قرار گرفت (بهوسیله قالب اصلاح شده تحکیم با فشار هیدرو استاتیک زیاد (2MPa) و خردشدنی دانه‌ها بهوسیله انجام آزمایش دانه‌بندی قبل و بعد از فشردنگی اندازه‌گیری شد، نتایج به دست آمده بدین شرح است:

۱. خاک‌های کربناته سواحل جنوبی ایران بسیار متنوع است و دارای اشکال متفاوت کروی (ضریب شکل ۲) تا میله‌ای (ضریب شکل ۵ و بالاتر) هستند.
۲. خردشده‌گی دانه‌ها کربناته با افزایش اندازه مؤثر آن‌ها افزایش می‌یابد.
۳. در اندازه مؤثر زیر یک میلی‌متر با ضریب شکل‌های متفاوت خردشده‌گی بسیار اندک (کم‌تر از ۲ درصد) و در اندازه مؤثر ۵ میلی‌متر و بالاتر خردشده‌گی بسیار بیش‌تر است.
۴. خردشده‌گی سنگ‌دانه‌ها با افزایش هم‌زمان اندازه مؤثر و ضریب شکل تشدید شده و بر اساس یک تابع توانی افزایش می‌یابد.

#### منابع

۱. حسنلوراد م., صالح‌زاده ح., شاهنظری ح., "اصلاح خاک‌های ماسه‌ای کربناته با استفاده از تزریق شیمیایی" مجله علمی-پژوهشی امیرکبیر، سال ۴۱، شماره ۱۳۸۸(۱).
۲. حرمی م. "رسوب‌شناسی" کتاب تألیفی موسسه چاپ و انتشارات آستان قدس رضوی(۱۳۶۷).
۳. قنبری ع. "سلول پیشرفته تحکیم خاک" رئوتکنیک و مقاومت مصالح ۸۶(۱۳۷۹) ۵۸-۶۷.
۴. معتمد ا. "رسوب‌شناسی ۲ (تجزیه مواد و محیط‌های رسوبی)" کتاب تألیفی چاپ دوم، موسسه انتشارات و چاپ دانشگاه تهران (۱۳۶۶).
۵. هاشم‌نژاد آ., غفوری م., لشکری غ., طریق ازلی ص., "بررسی عوامل سنگ‌شناسی مؤثر در میزان سایندگی کانی‌ها به کمک دستگاه LPCP"، نشریه زمین‌شناسی مهندسی، جلد هشتم، شماره ۲ (۱۳۹۳).
6. API "Recommended Practice for Planning, Designing and Constructing Fixed Offshore Platforms." American Petroleum Institute API RP-2A (2000).
7. Datta M., Gulhati S. K., Rao G. V. "Crushing of Calcareous Sands During Shear", Proceeding 11th Offshore Technology Conference, Houston, Texas, Vol. 3 (1979) 1459-1467.
8. Douri R. H., Poulos H. G., "Behaviour of pile groups in calcareous sand", Geotechnical Eng. in., Vol. 25, No.2 (1994) 3-21.

9. Fookes p., Higginbottom I., "The classification and description of near-shore carbonate sediments for engineering purposes", *Geotechnique* 25(2) (1975) 406-411.
10. Ghanbari A., Hamidi A., Abdolahzadeh N., "A Study of the Rockfill Material Behavior in Large-Scale Tests", *Civil Engineering Infrastructures Journal*, 46 (2): 125-143, ISSN (2013) 2322-2093.
11. Hardin B., "Crushing of soil particles" *ASCE J. Geotech. Engng.* 111(10) (1985) 1177-1192.
12. Hashemnejad A., "Utilizing water, mineralogy and sedimentary properties to predict LCPC abrasivity coefficient", *Bull Eng Geol Environ DOI 10.1007/s10064-015-0779-9* (2015).
13. Hazen A., Discussion of "dams on sand foundation", by A. C. Koenig, *Transactions, American Society of Civil Engineers*, 73 (1911) 199.
14. Indraratna B., Wijewardena L. S. S., Balasubramaniam A. S., "Large-scale triaxial testing of greywacke rockfill", *Geotechnique*, London, U.K. 43 (1) (1993) 37-51.
15. Kargar S. H. R., Salehzadeh H., Shahnazari H., "Post-Cyclic Behavior of Carbonate Sand of the Northern Coast of the Persian Gulf", *Marine Georesources & Geotechnology*, 0 (2015) 1–12.
16. Lee K., Farhoomand I., "Compressibility and breakage of granular soil in anisotropic triaxial compression", *Canadian Geotechnical Journal*, IV (1) (1967) 68-86.
17. Leslie D. D., "Large scale triaxial tests on granular soils", Proceeding of the 2 PanAmerican Conference on Soil Mechanics and Foundation Engineering, Brazil, 1 (1963) 181-202.

18. McClelland B., "Calcareous Sediments: An Engineering Enigma", 1 st International Conference on Calcareous Sediments. Australia, Perth. 2 (1988) 777-784.
19. Poulos H. G., Chua E. W., Hull T. S., "Settlement of model footings on calcareous sand", Geotechnical Engineering, Vol. 15 (1984) 21-3.
20. Poulos H., Uesugi M., Young G., "Strength and deformation properties of Bass Strait carbonate sands". Geotechnical Engineering. 13(2) (1982) 189-211.
21. Poulos H. G., "Engineering properties of Bass Strait Sediments", Special publ. of the Geol. Soc. of Australia Recent Sediments in Eastern Australia, Marine through Terrestrial, (1986) 77-859.
22. Salehzadeh H., Ghazanfari E., "Parametric Study of Kish Carbonate Sand under Triaxial Shearing", International Journal of Civil Engineering, Vol. 2, No. 4 (2004) 223-231.
23. Semple R. M., "Mechanical Properties of Calcareous Soils: State of the Art Report", 1st International Conference on Calcareous Sediments, Australia, Perth (1988).
24. Shahnazari H., Rezvani R., "Effective parameters for the particle breakage of calcareous sands: An experimental study", Engineering Geology (2013) 159-98-105.
25. Tucker M. E., "Sedimentary petrology. An introduction", Blackwell, Oxford (1981).